

Elettrodinamica Classica

Onde, Radiazione, Propagazione

VII – Fenomeni radiativi di interesse astrofisico

Radiazione di sincrotrone

Radiazione da una carica in moto circolare uniforme:
Si e' trovata la distribuzione angolare

$$\left. \frac{dP}{d\Omega} \right|_{t'} = \frac{q^2}{16\pi^2 \epsilon_0 c^3} \frac{c^2 |\dot{\boldsymbol{\beta}}|^2}{(1 - \beta \cos \theta)^3} \left[1 - \frac{\sin^2 \theta \cos^2 \varphi}{\gamma^2 (1 - \beta \cos \theta)^2} \right]$$

la potenza totale emessa

$$P_{circ} = \frac{2}{3} \frac{q^2}{4\pi\epsilon_0 c^3} |\dot{\mathbf{v}}|^2 \gamma^4$$

e la potenza emessa per rivoluzione

$$P_{circ} = \frac{4\pi}{3} \frac{q^2}{a} \beta^3 \gamma^4$$

RS - Contenuto spettrale

1) Considerazioni semiquantitative

Tipicamente il fenomeno avviene in seguito a "cattura" di un elettrone di alta energia da un campo magnetico

La formula per la potenza totale si puo' riscrivere

$$P_{circ} = \frac{2}{3} \frac{q^2}{4\pi\epsilon_0 c^3} |\dot{\mathbf{v}}|^2 \gamma^4 = \frac{2}{3} \frac{\omega_0^2 q^2}{mc^3} \beta^2 \gamma^4$$

essendo a il raggio dell'orbita circolare.

Per il moto in un campo magnetico uniforme:

$$\omega_0 = \frac{qB}{m\gamma} \rightarrow P = mc^2 \frac{2}{3} \left(\frac{qB}{m} \right)^2 \frac{r_0}{c} (\beta\gamma)^2$$

RS - Contenuto spettrale

Elemento di orbita $\Delta\theta$: tempo di emissione dato da

$$\Delta t' = \frac{\Delta\theta}{\omega_0}$$

nel riferimento della carica. Nel riferimento dell'osservatore:

$$\Delta t = (1 - \beta) \Delta t' = \frac{\Delta\theta}{\omega_0} (1 - \beta) \cong \frac{\Delta\theta}{2\omega_0 \gamma^2}$$

Poiche' l'ampiezza angolare della radiazione emessa $e' \sim 1/\gamma$

$$\Delta t \approx \frac{1}{\omega_0 \gamma^3} \rightarrow \Delta\omega \propto \omega_0 \gamma^3$$

RS - Contenuto spettrale

2) Dall'espressione generale dei potenziali di L-W:

$$\mathbf{A} = \frac{\mu_0}{4\pi} \left[\frac{e\mathbf{u}}{r - \mathbf{r} \cdot \mathbf{u}/c} \right] = \frac{e}{4\pi\epsilon_0 c^3} \frac{\mathbf{u}}{r \left[1 - (u/c) \sin \alpha \cos(\omega_0 t') \right]}$$

Ci aspettiamo che \mathbf{A} sia una funzione periodica del tempo, visto che il moto della carica lo e': allora si puo' scomporlo in serie di Fourier (discreta), con il risultato, per la potenza irradiata nell'armonica l-esima:

$$P_l = \begin{cases} 0.52 \left(\frac{q^2}{4\pi\epsilon_0 c} \right) \omega_0^2 l^{1/3}, & 1 \ll l \ll \gamma^3 \\ \frac{1}{2\sqrt{\pi}} \frac{q^2}{4\pi\epsilon_0 c} \left(\frac{l}{\gamma} \right)^{1/2} e^{-\frac{2l}{3\gamma^3}}, & l \gg \gamma^3 \end{cases}$$

Bremsstrahlung

La radiazione di frenamento e' prodotta nel passaggio di particelle cariche di alta energia in un campo coulombiano. Facciamo un calcolo approssimato, non relativistico:

$$F = m\ddot{u} = \frac{Ze}{4\pi\epsilon_0(b^2 + u^2t^2)^{3/2}}$$

b=par. d'urto

t=0 max avvicinamento

$$\rightarrow \ddot{u} = \frac{Ze}{4\pi\epsilon_0 m(b^2 + u^2t^2)^{3/2}}$$

Facendo lo sviluppo in integrale di Fourier:

$$\ddot{u}(\omega) = \frac{1}{\sqrt{2\pi}} \int_{-\infty}^{+\infty} \ddot{u}(t) e^{i\omega t} dt = \frac{1}{\sqrt{2\pi}} \frac{Ze}{4\pi\epsilon_0 m} \int_{-\infty}^{+\infty} \frac{1}{(b^2 + u^2t^2)^{3/2}} e^{i\omega t} dt$$

BS - Scomposizione spettrale

Poiche' la funzione a fattore di $e^{i\omega t}$ e' pari, si puo' scrivere:

$$\frac{1}{\sqrt{2\pi}} \frac{Zq^2}{4\pi\epsilon_0 m} \int_{-\infty}^{+\infty} \frac{1}{(b^2 + u^2 t^2)^{3/2}} e^{i\omega t} dt = \frac{1}{\sqrt{2\pi}} \frac{Zq^2}{2\pi\epsilon_0 m} \int_0^{\infty} \frac{1}{(b^2 + u^2 t^2)^{3/2}} \cos \omega t dt$$

L'integrale non si puo' esprimere tramite trascendenti elementari; tuttavia vale la rappresentazione

$$K_1\left(\frac{\omega b}{u}\right) = \frac{b}{u\omega} \int_0^{\infty} \frac{1}{(b^2 + u^2 t^2)^{3/2}} \cos \omega t dt$$

K_1 : funzione di Bessel modificata di ordine 1

Quindi:

$$\dot{u}(\omega) = \frac{1}{\sqrt{2\pi}} \frac{Zq^2}{4\pi\epsilon_0 m} \frac{2\omega}{u^2} K_1\left(\frac{\omega b}{u}\right)$$

BS - Funzioni di Bessel

Si ha approssimativamente:

$$K_1(x) = \begin{cases} \frac{1}{x}, & x < 1 \\ e^{-x}, & x \gg 1 \end{cases}$$

per cui:

$$\dot{i}(\omega) = \begin{cases} \frac{1}{\pi} \frac{Zq^2}{4\pi\epsilon_0 m} \frac{1}{ub}, & \omega < \frac{u}{b} \\ 0, & \omega > \frac{u}{b} \end{cases}$$

BS - Distribuzione angolare

La distribuzione angolare/spettrale dell'energia irraggiata si trova attraverso la formula di Larmor (siamo in app. non relativistica):

$$\frac{dP}{d\omega d\Omega} = \frac{q^4}{4\pi\epsilon_0 mc^2} \frac{2}{\pi} \frac{c^2}{u^2 b^2} \sin^2 \theta$$

Lo spettro in frequenza e' "bianco" (uniforme) in questa approssimazione. Integrando sugli angoli:

$$\frac{dP}{d\omega} = \frac{4q^4}{3\pi\epsilon_0 mc^2} \frac{c}{u^2 b^2}$$

Limiti su b fissati dal dettaglio dell'interazione

Distribuzioni angolari/spettrali

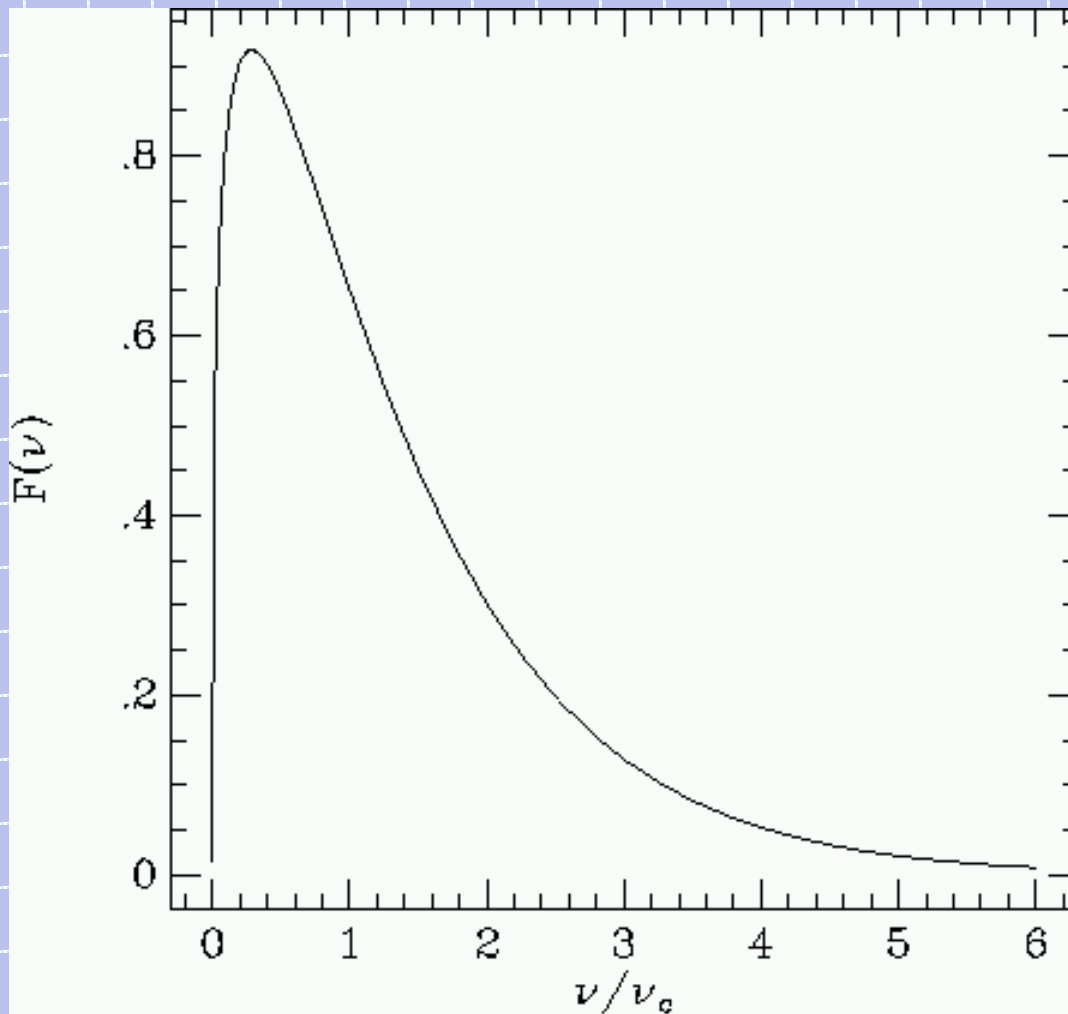
1) La caratteristica a bassa frequenza $\propto \omega^{1/3}$ e' il segno distintivo della radiazione di sincrotrone in astrofisica

2) Inoltre la radiazione e' fortemente *polarizzata* nel piano dell'orbita (circa il 90 %)

1) Nella bremsstrahlung lo spettro e' piatto

2) La distribuzione angolare e' piccata attorno alla direzione della velocita'

Spettro RS - Elettrone singolo



Situazioni astrofisiche - I

1) Lo spettro di RS dato da elettroni monoenergetici deve essere convoluto con la distribuzione di energia degli elettroni: p.es., uno spettro di tipo potenza

$$n(\gamma)d\gamma = C \frac{d\gamma}{\gamma^p}$$

Allora la distribuzione spettrale convoluta e':

$$P(\omega) = \int n(\gamma)P(\omega; \gamma)d\gamma$$

$$\rightarrow P(\omega) \propto \frac{1}{\omega^{(p-1)/2}}$$

Spettri tipici da radio-galassie: $p \sim 2.5-3.0$

Esempio di convoluzione

271

General distribution of electrons

$$\frac{dP}{dV dv} = \iint d\gamma d\Omega_\alpha n(\gamma, \alpha) P(v), \text{ the spectral emission per unit volume,}$$

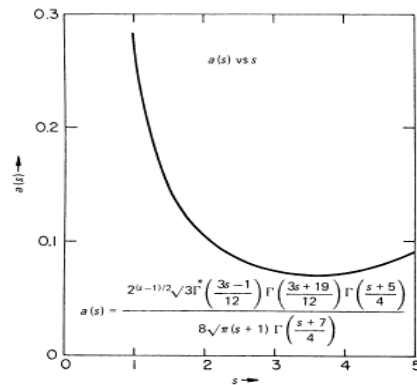
where $n(\gamma, \alpha) d\gamma d\Omega_\alpha$ = density of electrons with Lorentz factor between γ and $\gamma + d\gamma$ and pitch angle between α and $\alpha + d\alpha$; $d\Omega_\alpha = 2\pi \sin \alpha d\alpha$; $P(v)$ = single electron spectrum.

Power law distribution of electrons

$$n(\gamma, \alpha) = N\gamma^{-s} g(\alpha)/4\pi,$$

and for local isotropy $g(\alpha) = 1$,

$$\frac{dP}{dV dv} = 1.7 \times 10^{-21} Na(s) B(4.3 \times 10^6 B/v)^{(s-1)/2} \text{ erg s}^{-1} \text{ cm}^{-3} \text{ Hz}^{-1}.$$



* note: $\Gamma(x)$ is the gamma function.

(Tucker, W. H. & Blumenthal, G. R., *op. cit.*)

Situazioni astrofisiche - II

2) Si consideri la BS di un flusso di elettroni che passa in una nube di gas (statico). Densità volumetriche di elettroni e ioni n_e , n_i ; velocità degli elettroni u . Energia emessa per unità di tempo e unità di volume, e per unità di frequenza:

$$\begin{aligned}\frac{dE}{d\omega dV dt} &= 2\pi n_i n_e u \int_{b_{\min}}^{b_{\max}} b db \frac{dE(b)}{d\omega} \cong \frac{4q^4}{3\pi\epsilon_0 mc^2} \int_{b_{\min}}^{b_{\max}} b db \frac{c}{u^2 b^2} \\ &= \frac{8q^4 n_i n_e}{3\epsilon_0 mc^2} \frac{1}{u} \ln\left(\frac{b_{\max}}{b_{\min}}\right)\end{aligned}$$

Situazioni astrofisiche - III

Limiti superiore e inferiore di integrazione:

$$\omega < \omega_c \rightarrow b < b_{\max} \sim \frac{u}{\omega}$$

$$b > b_{\min} = \frac{h}{mu}$$

Radiazione Cherenkov - I

Eq. d'onda inhomogenea in un mezzo materiale: se

$$\mu = \mu_0$$

$$\varepsilon = \varepsilon_r \varepsilon_0$$

allora l'eq. per il potenziale vettore e':

$$\nabla^2 \mathbf{A} - \frac{n^2}{c^2} \frac{\partial^2 \mathbf{A}}{\partial t^2} = -\mu_0 \mathbf{j}, \quad n = \sqrt{\varepsilon_r}$$

In un mezzo materiale, $c \rightarrow c/n$, e puo' accadere che $\beta > c/n$

Radiazione Cherenkov - II

Densita' di corrente:

$$\mathbf{j}(t) = e\mathbf{u}\delta(x'-ut)\delta(y')\delta(z') \quad \text{Moto uniforme lungo } x$$

Trasformata di Fourier:

$$\mathbf{j}(\omega) = \frac{1}{\sqrt{2\pi}} \int \mathbf{j}(t)e^{i\omega t} dt = \frac{q}{\sqrt{2\pi}} \hat{\mathbf{x}} e^{\frac{i\omega x'}{u}} \delta(y')\delta(z')$$

Energia emessa: flusso del vettore di Poynting. In un intervallo di frequenza $\omega, \omega+d\omega$:

$$\frac{dP}{d\omega} = \int \frac{d^2P}{d\Omega d\omega} d\Omega = \frac{q^2 \omega^2 n}{16\pi^3 \epsilon_0 c^3} \int \left| \int_{-\infty}^{+\infty} e^{i[(\omega x'/u) - kx' \cos \theta]} dx' \right|^2 \sin^2 \theta d\Omega$$

Radiazione Cherenkov - III

Integrale interno:

$$\int_{-\infty}^{+\infty} e^{i[x'(\omega/u - k \cos \theta)]} dx' = \delta[(\omega/u) - k \cos \theta] = \delta(1 - nu \cos \theta / c)$$

che ci dice che la distribuzione angolare della radiazione e' fortemente piccata all'angolo

$$\cos \theta = \frac{1}{nu/c} = \frac{1}{\beta n}$$

Integrale sull'angolo solido:

$$\frac{dP}{d\omega} = \frac{q^2 X}{2\pi\epsilon_0 c^2} \left(1 - \frac{c^2}{n^2 u^2}\right) \omega$$

X: spessore materiale attraversato (necessario per fare convergere gli integrali...)

Pulsar - I

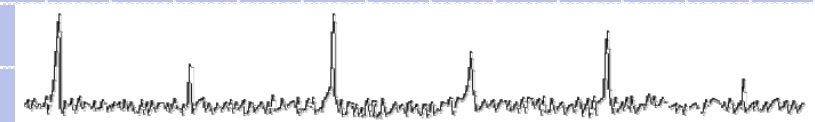
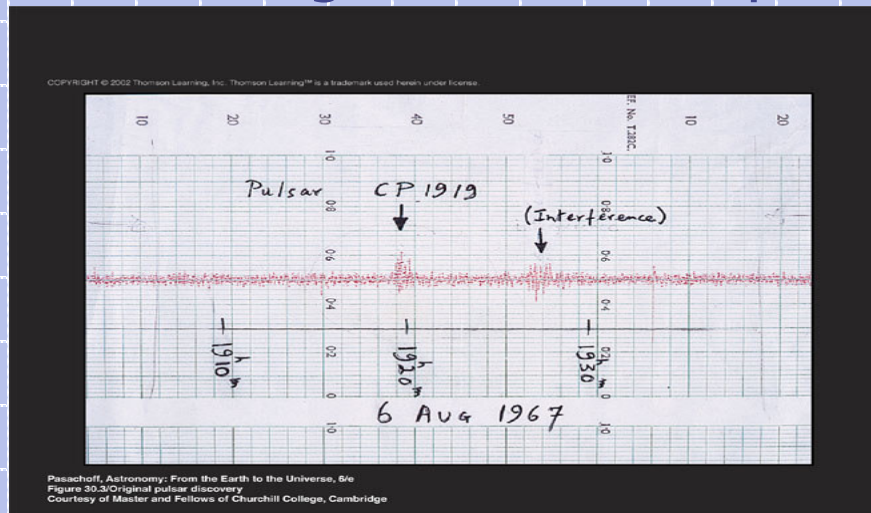
Predetti (*Pacini 1967*)

Scoperti (*Hewish & Bell 1968*)

Interpretati (*Gold, Pacini, Goldreich & 1968-69*)

Che cosa sono?

Radio-sorgenti intense e periodiche, a periodo breve



Sinistra: il primo scoperto

Sopra: uno tipico

Pulsar - II

Interpretazione accettata:

Stelle di neutroni, magnetiche, in rotazione, disallineate

Fine evoluzione stellare: collasso gravitazionale

Risultato: dipende dalla massa della stella

Limite di Chandrasekhar:

$m < 1.4m_{\odot} \rightarrow$ gigante \rightarrow nana bianca

$5m_{\odot} > m > 1.4m_{\odot} \rightarrow$ supernova \rightarrow stella di neutroni

$m > 5m_{\odot} \rightarrow$ supernova \rightarrow buco nero

Stella di neutroni: "supernucleo"

Pulsar - III

Parametri di una stella di neutroni:

$$m = 0.02 \div 3 m_{\odot}$$

$$r = 6 \div 100 \text{ km}$$

$$\rho = 10^{13 \div 16} \text{ g cm}^{-3}$$

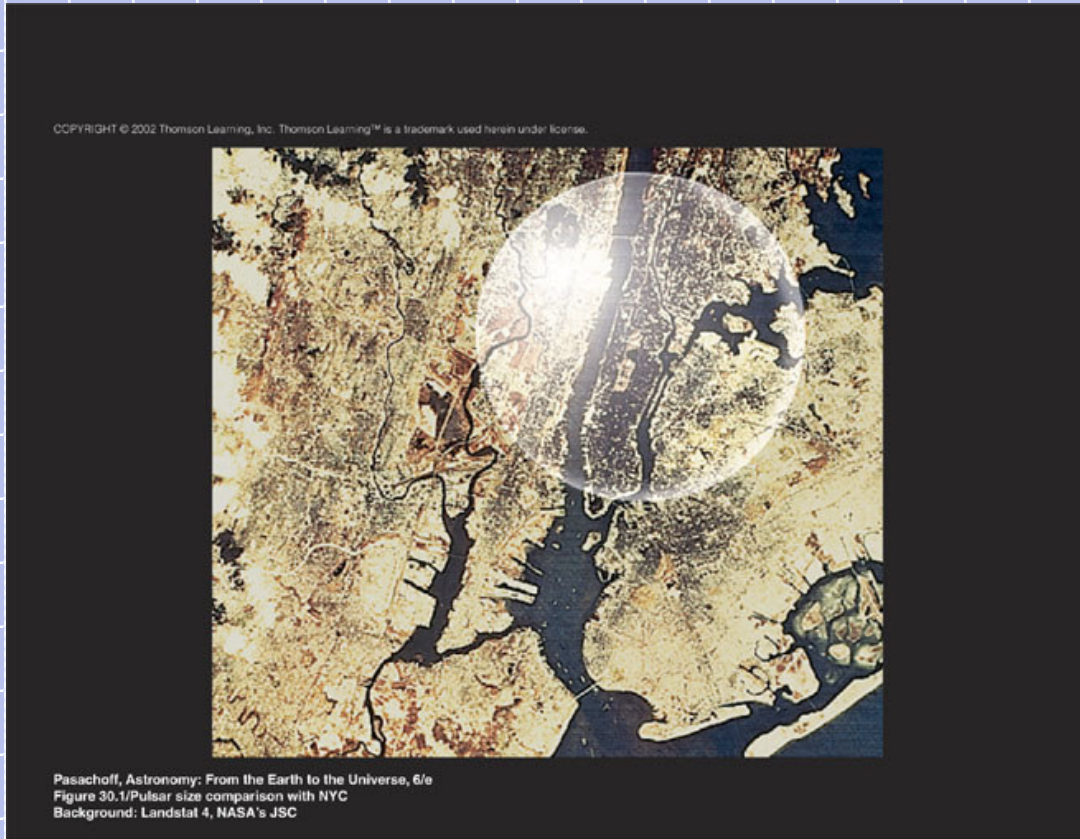
protoni+elettroni < 3%

campo magnetico $\sim 10^8 \text{ T}$

velocita' angolare $\sim 10^2 \text{ rad s}^{-1}$

Neutronizzazione, densita', c.magnetico, mom. angolare:
conseguenza del collasso $R \rightarrow R 10^{-5}$!

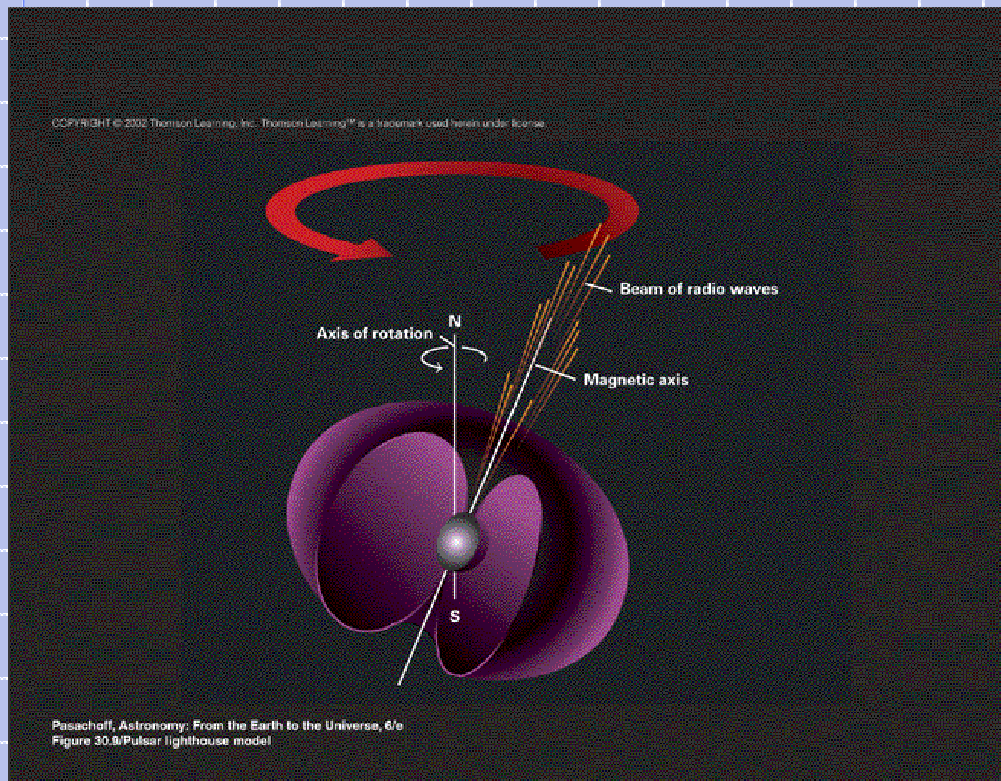
Pulsar - IV



New York e una
stella di neutroni

Pulsar - V

Modello a rotatore obliquo:



Scomposizione lungo l'asse di rotazione

$$\mu = \mu_{\perp} + \mu_{\parallel}$$

μ_{\parallel} non varia nel tempo \rightarrow non irraggia

μ_{\perp} ruota \rightarrow irraggia